

# การประยุกต์ใช้โครงข่ายประสาทเทียมเพื่อคัดแยกคุณภาพนม จากคุณสมบัติไดอิเล็กทริก

ประพัน ลีกุล

สาขาวิชาวิศวกรรมโทรคมนาคมและสารสนเทศ คณฯเทคโนโลยีอุตสาหกรรม มหาวิทยาลัยราชภัฏรำไพพรรณี

## บทคัดย่อ

บทความนี้นำเสนอการคัดแยกคุณภาพของนมด้วยโครงข่ายประสาทเทียม โดยใช้ความแตกต่างของคุณสมบัติ ไดอิเล็กทริกที่เกิดขึ้นระหว่างนมดีและนมเสีย การวัดคุณสมบัติไดอิเล็กทริกของนมถูกวัดในช่วงความถี่กว้างตั้งแต่ 0.5 ถึง 3 กิกะเฮิรตซ์ ข้อมูลที่ได้จากการวัดคือค่าคงที่ไดอิเล็กทริกและตัวประกอบการสูญเสียไดอิเล็กทริก ถูกนำมาใช้ฝึกสอนโครงข่ายประสาทเทียมเพื่อให้สามารถจำแนกคุณภาพของนม ข้อมูลที่ใช้สำหรับการฝึกสอนโครงข่ายประสาทเทียมถูกแบ่งออกเป็น 3 กลุ่ม คือ 10%, 20% และ 50% ต่อข้อมูลทั้งหมด อัตราการเรียนรู้อยู่ในช่วง 0.0005, 0.001 และ 0.002 ตามลำดับ และจำนวนโนดซ่อนเร้นถูกปรับตั้งแต่ 4, 6 และ 9 ตามลำดับ ซึ่งจากการจำลองระบบข้อมูลที่ 20% เพียงพอต่อการฝึกสอนโครงข่ายประสาทเทียมและท่ออัตราการเรียนรู้ 0.001 ระบบสามารถเรียนรู้ได้อย่างมีประสิทธิภาพ จำนวนโนดซ่อนเร้นที่เหมาะสม 6 โนด ซึ่งทำให้ระบบสามารถตัดสินใจได้อย่างแม่นยำจึงทำให้สามารถใช้ทรัพยากรได้อย่างคุ้มค่าและมีประสิทธิภาพ

คำสำคัญ : คุณสมบัติไดอิเล็กทริก, คุณภาพนม, ค่านิรันดร์เยอเชอฟ, โครงข่ายประสาทเทียม

# Application of artificial neural network for milk quality classification with dielectric properties

Prapan Leekul

Department of Telecommunication and Information Engineering, Faculty of Industrial Technology, Rambhai Barni Rajabhat University

## Abstract

This paper presents the categorization of quality of milk by using artificial neural networks. In order to distinguish quality of milk, the difference of dielectric properties between fresh milk and spoiled milk are used. A measurement of the dielectric properties of milk is measured in the range frequency from 0.5 to 3 GHz. The measured dielectric constant and dielectric loss factor are used for training artificial neural networks (ANNs) to classify the quality of milk. The data for training ANNs is divided into 3 groups which consist of 10%, 20% and 50% per all data. The learning rates are comprised of 0.0005, 0.001 and 0.002 respectively and the number of hidden node is comprised of 4, 6 and 9 respectively. From the simulation, the data for training at 20% is enough for ANN's learning. The system can learn efficiently at learning rate of 0.001. The suitable number of the hidden nodes is 6 nodes, which makes the system decides precisely resulting in using the resources effectively and low complexity.

**Keywords :** Dielectric properties, Milk quality, UHF frequency, Artificial neural network

## 1. บทนำ

นมวัวเป็นอาหารที่มีประโยชน์สูง สารอาหารที่มีมากในนมวัว ได้แก่ โปรตีน แคลเซียม และวิตามินบี 2 นมจึงมีประโยชน์ต่อร่างกายโดยเฉพาะในวัยเด็ก ความต้องการบริโภคนมวัวของโลกในปี 2559 อยู่ที่ 182.29 ล้านตัน เพิ่มขึ้นเป็นร้อยละ 1.6 ต่อปี อินเดียเป็นประเทศที่บริโภคนมสูงสุด คือ 62.75 ล้านตันต่อปี รองลงมาได้แก่ สหภาพยุโรป 34.00 ล้านตันต่อปี และสหรัฐอเมริกา 26.52 ล้านตันต่อปี ช่วงปี 2555 - 2559 ผลผลิตน้ำนมดิบ มีอัตราเพิ่มขึ้นร้อยละ 2.12 ต่อปี ประเทศไทยให้ผลผลิตน้ำนมดิบมากที่สุด คือ สหภาพยุโรป รองลงมาคือสหรัฐอเมริกา และอินเดีย [1] ซึ่งแสดงให้เห็นว่านมเป็นสิ่งสำคัญต่อประชากรโลก ประเทศไทยมีเกษตรกรผู้เลี้ยงโคนมกว่า 2 หมื่นครัวเรือน มีจำนวนโคนมกว่า 6 แสนตัว เป็นแม้ว่าที่สามารถรีดนมได้ 3 แสนตัว กำลังการผลิตน้ำนมดิบของประเทศไทยอยู่ที่ประมาณ 1 ล้านตันต่อปี โดย 40 % ของน้ำนมดิบที่ได้จะนำไปสู่โครงการอาหารเสริม (นม) โรงเรียน ส่วนที่เหลืออีก 60 % จึงนำไปสู่ตลาดผลิตภัณฑ์นมให้กับผู้บริโภคทั่วไป [2] ความต้องการผลิตภัณฑ์นมในประเทศไทยมีค่อนข้างสูง โดยปี 2555 - 2559 ความต้องการบริโภคนมพร้อมดื่มมีอัตราเพิ่มร้อยละ 1.67 ต่อปี ในปี 2559 มีปริมาณการบริโภค 1,077,910 ตัน เพิ่มขึ้นจาก 1,046,216 ตัน ของปี 2558 ร้อยละ 3.03 กำลังการผลิตนมวัวในประเทศไทยไม่เพียงพอต่อความต้องการ จึงทำให้ต้องนำเข้าผลิตภัณฑ์นมจากต่างประเทศ

ดังนั้นการควบคุมคุณภาพนม การตรวจสอบคุณค่าทางอาหารจึงเป็นสิ่งสำคัญ พาร์มโคนมสมัยใหม่มีการนำระบบอัตโนมัติหลายประเภทมาใช้งาน จึงสามารถเก็บข้อมูลที่สนใจในพาร์มเพื่อนำมาให้บริหารจัดการและปรับปรุงผลผลิต [3] ในปี 2008 การอสและคณะได้ใช้เทคนิค NIR ในช่วงความยาวคลื่น 400 ถึง 1100 นาโนเมตร ในการวัดคุณสมบัตินมและใช้การวิเคราะห์ข้อมูลเทคนิคกำลังสองน้อยที่สุดบางส่วน (Partial least squares) ในการตรวจสอบไขมัน แลคโตส และโปรตีนรวมในน้ำนมดิบ [4] ซึ่งเทคนิค NIR ที่ใช้ในการตรวจสอบนมยังคงมีราคาสูงเมื่อจะนำไปใช้งานจริง รวมถึงในขั้นตอนการใช้งานยังคงมีความซับซ้อน ต่อมาในปี 2011 เอ็นจิโนและคณะ ได้ใช้เทคนิคการ

วัดค่าอิมพีแคนซ์ ในการตรวจสอบเบคทีเรียในน้ำนมโดยใช้ออกแบบวงจรปรับสภาพสัญญาณ (Signal conditioning) เพื่อศึกษาผลกระทบที่เกิดขึ้นของสัญญาณไฟฟ้า ในกรณีที่เกิดการเปลี่ยนแปลงของค่าอิมพีแคนซ์จากเบคทีเรียที่เกิดขึ้นในน้ำนม รวมถึงการออกแบบจ่ายยาเพื่อให้สัญญาณที่ได้จากการวัดชัดเจน [5] การตรวจสอบคุณภาพนมถูกพัฒนาอย่างต่อเนื่อง และในปี 2015 อัจฉราและคณะนำเสนอเทคโนโลยีการวัดคุณภาพนมแบบใหม่ทำลายโดยใช้คลื่นอัตราโซนิกในการตรวจสอบ ซึ่งได้ตรวจสอบนมยูเอชทีที่อยู่ในบรรจุภัณฑ์ รวมถึงได้ศึกษาถึงการเจริญเติบโตของเบคทีเรียที่อุณหภูมิแตกต่างกัน จากการทดลองแสดงให้เห็นว่าที่ 35 องศาเซลเซียส แบคทีเรียสามารถเติบโตได้ดีที่สุด [6] ต่อมาในปี 2016 ศุสเซนได้นำเสนอระบบเฝ้าระวังการเสียของนมที่ราคาประหยัดในลักษณะจมูกอิเล็กทรอนิกส์ โดยใช้เซนเซอร์ตรวจสอบกลิ่นทั้งหมด 3 ตัว และนำค่าที่ได้ไปประมวลผลและตัดสินใจคุณภาพของนมโดยใช้ไมโครคอนโทรลเลอร์ (ARM 7) ในการควบคุมและตัดสินใจ รวมถึงแสดงผลบนหน้าจอแสดงผล [7] ซึ่งจะเห็นได้ว่าการตรวจสอบคุณภาพและอายุของนมเป็นสิ่งสำคัญ รวมถึงได้รับความสนใจอย่างแพร่หลาย

ดังนั้นบทความนี้จึงนำเสนอการตรวจสอบคุณภาพนมจากการวัดคุณสมบัติทางไฟฟ้าของนมตีและน้ำเสียด้วยโปรดไบโอลีกตริก และวิเคราะห์ข้อมูลด้วยเครื่องวิเคราะห์โครงข่าย (Vector network analyzer) ในช่วงความถี่ 0.5 ถึง 3 กิกะเฮิรตซ์ จากนั้นนำข้อมูลคุณสมบัติโดยอิเล็กตริกที่ได้มาใช้ฝึกสอนโครงข่ายประสาทเทียม เพื่อหาโครงสร้างที่เหมาะสม และนำค่าถ่วงน้ำหนักที่ได้จากการฝึกสอนโครงข่ายประสาทเทียมมายโครงสร้างไปใช้ในการตัดสินใจเพื่อแบ่งกลุ่มของนมดีและน้ำเสีย

## 2. ทฤษฎีและหลักการ

### 2.1 การทดสอบค่าสภาพย้อมไฟฟ้าของวัสดุ

วัสดุแต่ละชนิดมีคุณสมบัติทางไฟฟ้าที่เรียกว่าคุณสมบัติโดยอิเล็กตริกแตกต่างกัน ซึ่งสามารถนำมาใช้จำแนกความแตกต่างของวัสดุได้ คุณสมบัติโดยอิเล็กตริกเป็นค่าที่แปรผันตามความถี่ อุณหภูมิ การจัดเรียงชั้นประจุส่วนผสม ความดัน และโครงสร้างโมเลกุลของวัสดุ คุณสมบัติโดยอิเล็กตริกประกอบด้วยค่าสภาพย้อมไฟฟ้า และ

ความซึมซาบแม่เหล็ก ซึ่งเป็นตัวบ่งชี้ถึงความแตกต่างของวัสดุแต่ละประเภทที่มีคุณสมบัติทางไฟฟ้าที่แตกต่างกัน ค่าสภาพย้อมไฟฟ้าสัมพัทธ์เชิงช้อนแสดงได้ดังสมการที่ (1)

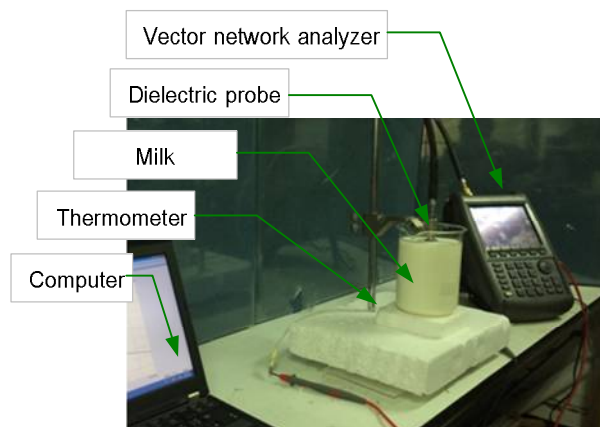
$$\varepsilon_r = \varepsilon_r' - j\varepsilon_r'' \quad (1)$$

ส่วนจริงหรือเรียกว่าค่าคงที่ไดอิเล็กทริก เป็นปริมาณที่แสดงถึงความสามารถในการเก็บสะสมพลังงานสนามไฟฟ้า และตัวประกอบการสูญเสียไดอิเล็กทริก เป็นปริมาณที่แสดงถึงความสามารถในการเปลี่ยนพลังงานสนามไฟฟ้าเป็นพลังงานความร้อน โดยค่าสภาพย้อมไฟฟ้าเชิงช้อนในรูปแบบพังก์ชันของความถี่เป็นดังสมการของเดอบาย (Debye equation) ในสมการที่ (2) [8]

$$\varepsilon(\omega) = \varepsilon_\alpha + \frac{\varepsilon_s - \varepsilon_\alpha}{1 + j\omega\tau} \quad (2)$$

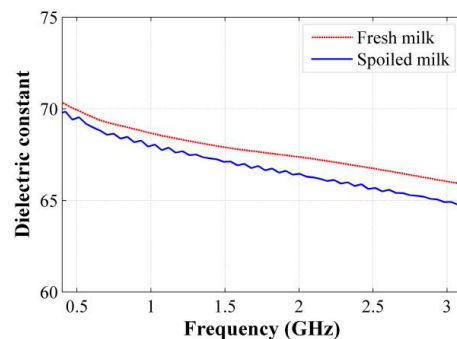
โดย  $\varepsilon_s$  หมายถึงค่าคงที่ไดอิเล็กทริกที่ความถี่เป็นศูนย์ (DC)  $\varepsilon_\alpha$  คือ ค่าคงที่ไดอิเล็กทริกที่ความถี่สูงมาก  $\omega$  คือ ความถี่เชิงมุม  $\tau$  คือเวลาในการผ่อนคลายของวัสดุ (Relaxation time) นमพาสเจอร์รีส์ที่เสื่อมสภาพจุลินทรีย์ที่อยู่ในนมมีปริมาณเพิ่มขึ้น ทำให้เกิดการย่อยโปรตีนในนมเพิ่มขึ้น ลักษณะของนมที่เสื่อมสภาพหรือนมเสียจึงแตกต่างจากนมดี ส่งผลให้ค่าสภาพย้อมไฟฟ้าของนมดีและนมเสียแตกต่างกัน

การทดสอบคุณสมบัติไดอิเล็กทริกนม ใช้ตัวอย่างเป็นนมพาสเจอร์รีส์ชนิดจืด นำมามารบราวน์ในบีกเกอร์ (Beaker) ขนาด 500 มลลิลิตร ควบคุมอุณหภูมิห้องและอุณหภูมิของนมอยู่ที่ 25 องศาเซลเซียส ตลอดการทดสอบ เริ่มทำการวัดค่าคุณสมบัติไดอิเล็กทริกครั้งแรกที่น้ำอายุ 0 ชั่วโมง หลังจากใส่ในภาชนะบรรจุ จากนั้นเมื่อเวลาผ่านไป 12 ชั่วโมง จึงวัดคุณสมบัติไดอิเล็กทริกอีกครั้ง ซึ่งเป็นระยะเวลาที่น้ำเปลี่ยนเป็นนมเสีย การวัดคุณสมบัติไดอิเล็กทริกของนมพาสเจอร์รีส์ใช้วิธีการวัดแบบprobeโ Cooke เซียล [9] วัดในช่วงความถี่กว้างตั้งแต่ 0.5 ถึง 3 กิกะเฮิรตซ์ ด้วยเครื่องวิเคราะห์โครงข่าย รุ่น Field fox N9916A [10] และprobe ไดอิเล็กทริก 85070 B [11] ดังแสดงในรูปที่ 1

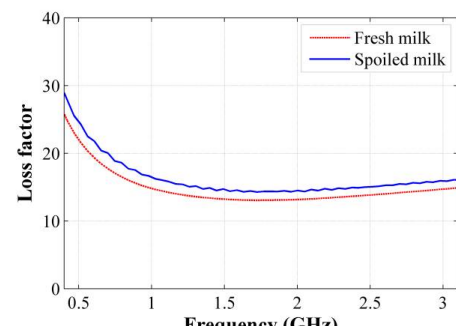


รูปที่ 1 การวัดคุณสมบัติไดอิเล็กทริกของนม

คุณสมบัติไดอิเล็กทริกที่ได้จากการวัดอยู่ในช่วงความถี่ 0.5 ถึง 3 กิกะเฮิรตซ์ ประกอบด้วยค่าคงที่ไดอิเล็กทริกและค่าตัวประกอบการสูญเสียไดอิเล็กทริกที่แบ่งออกเป็นของนมดีและนมเสีย การใช้คุณสมบัติไดอิเล็กทริกเพื่อแบ่งกลุ่มของนมดีและนมเสียถูกใช้อย่างแพร่หลาย เช่น ในงานวิจัยของดิงและคณะ น้ำดีจะมีอายุ 0 ชั่วโมง และนมเสียคือนมที่มีอายุมากกว่า 12 ชั่วโมง [12] ซึ่งสอดคล้องกับค่าคุณสมบัติไดอิเล็กทริกที่วัดได้ ผลที่ได้จากการวัดแสดงให้เห็นถึงความแตกต่างที่เกิดขึ้นระหว่างนมดีและนมเสีย



รูปที่ 2 ค่าคงที่ไดอิเล็กทริก



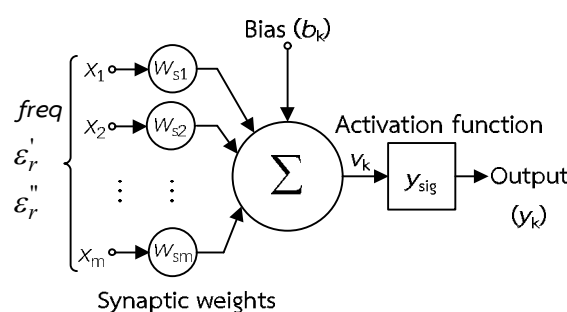
รูปที่ 3 ตัวประกอบการสูญเสียไดอิเล็กทริก

เมื่อเปรียบเทียบในช่วงความถี่เดียวกันพบว่าคุณสมบัติไดอิเล็กทริกของนมดีมีค่าสูงกว่านมเสีย และเมื่อความถี่สูงกว่า 2 กิกะเฮิรตซ์ ความแตกต่างจะเพิ่มมากขึ้น ค่าคงที่ไดอิเล็กทริกตลอดช่วงความถี่ระหว่างนมดีและนมเสียแตกต่างกันต่ำสุดคือ 0.36 และสูงสุดคือ 1.15 ดังแสดงรูปที่ 2 เมื่อเปรียบเทียบค่าตัวประกอบการสูญเสียไดอิเล็กทริกที่ความถี่เดียวกัน นมดีมีค่าต่ำกว่านมเสียตลอดช่วงความถี่และในช่วงที่ต่ำกว่า 1.2 กิกะเฮิรตซ์ ตัวประกอบการสูญเสียไดอิเล็กทริกมีความแตกต่างชัดเจนกว่าที่ความถี่สูงความแตกต่างของค่าตัวประกอบการสูญเสียระหว่างนมดีและนมเสียต่ำสุดที่ 1.27 และสูงสุด 2.74 ดังแสดงในรูปที่ 3

จากการทดสอบคุณสมบัติไดอิเล็กทริกของนมดีและนมเสียแสดงให้เห็นถึงความเป็นไปได้ในการจำแนกคุณภาพนม แต่จะสังเกตได้ว่าคุณสมบัติไดอิเล็กทริกของนมดีและนมเสียที่วัดตั้งแต่ความถี่ 0.5 ถึง 3 กิกะเฮิรตซ์ มีค่าแตกต่างกันไม่ชัดเจนในบางช่วงความถี่ ทำให้การจำแนกคุณภาพนมควรใช้การวัดในช่วงความถี่กว้างเพื่อเพิ่มจำนวนข้อมูลที่ใช้ในการประมวลผล เมื่อข้อมูลมากขึ้นจะช่วยให้ประสิทธิภาพในการตัดสินใจได้ดีและจะส่งผลให้ค่าความผิดพลาดลดลง

### 3. การประยุกต์ใช้โครงข่ายประสาทเทียม

โครงข่ายประสาทเทียมเป็นโมเดลทางที่คณิตศาสตร์และถูกนำมาประยุกต์ใช้อย่างแพร่หลายเพื่อใช้ตัดสินใจคัดแยกหรือแบ่งกลุ่มข้อมูลออกจากกัน โดยมีการทำงานคล้ายกับสมองของมนุษย์ โครงสร้างพื้นฐานของโครงข่ายประสาทเทียมชนิดเพอร์เซปตรอนหลายชั้น (Multilayer perceptron: MLP) ประกอบด้วย อินพุตจำนวน  $m$  ค่า คือ  $x_1, x_2, \dots, x_m$  ค่าถ่วงน้ำหนัก  $w_{s1}, w_{s2}, \dots, w_{sm}$  ค่าไบเอ็สของระบบคือ  $b_k$  ดังแสดงในรูปที่ 4



รูปที่ 4 โมเดลโครงข่ายประสาทเทียม [13]

$v_k$  คือ ผลรวมของค่าถ่วงน้ำหนักคูณด้วยอินพุตกับค่าไบเอ็ส จากนั้นจึงผ่านฟังก์ชันซิกมอยด์ (Sigmoid function) จึงได้เป็นค่าเอาต์พุต  $y_k$  ดังสมการที่ (3)

$$y_k = y_{sig} \left( \sum_{j=1}^m w_{sj} x_j + b_k \right) \quad (3)$$

โดยค่า  $y_{sig}$  คือ ฟังก์ชันแอคติเวชันแบบไม่เชิงเส้น และสมการคุณลักษณะของฟังก์ชันซิกมอยด์ดังสมการที่ (4)

$$y_{sigmoid} = \frac{1}{1+e^{-x}} \quad (4)$$

เริ่มต้นของการฝึกสอนโครงข่ายประสาทเทียม ส่วนสำคัญคือการกำหนดน้ำหนักเริ่มต้น เพื่อนำไปใช้ในการประมวลผลในชั้นช่อนเร้น เพื่อให้ได้น้ำหนักเริ่มต้นที่เหมาะสมกับจำนวนโนดอินพุตและโนดช่อนเร้น ค่าน้ำหนักเริ่มต้นสามารถคำนวณได้จากสมการที่ (5)

$$\left( -\frac{2.4}{F_i}, +\frac{2.4}{F_i} \right) \quad (5)$$

การกำหนดค่าเอาต์พุตที่ต้องการของโครงข่ายประสาทเทียมกำหนดได้ดังแสดงในสมการที่ (6)

$$y_{d,1}(p), y_{d,2}(p), \dots, y_{d,l}(p) \quad (6)$$

โครงข่ายประสาทเทียมถูกนำมาประยุกต์ใช้เพื่อวิเคราะห์หาค่า  $w_i, w_j, \theta_j, \theta_k$  และจำนวนข้อมูลอินพุตที่เหมาะสม ที่ทำให้สามารถทำตัดสินใจได้อย่างแม่นยำและใช้ทรัพยากรได้อย่างคุ้มค่ามากที่สุด บทความนี้จึงศึกษาถึงความเป็นไปได้ในการประยุกต์ใช้โครงข่ายประสาทเทียมมาช่วยจำแนกและวิเคราะห์คุณภาพของนมจากคุณสมบัติไดอิเล็กทริก

การทดสอบเพื่อหาโครงสร้างของโครงข่ายประสาทเทียมที่เหมาะสมในการจำแนกคุณภาพนม การฝึกสอนได้ใช้ข้อมูลคุณสมบัติไดอิเล็กทริกของนม ซึ่งแบ่งออกเป็นกลุ่มของนมดีและกลุ่มของนมเสีย ข้อมูลคุณสมบัติไดอิเล็กทริกมีทั้งหมดที่วัดได้มีจำนวน 110 ข้อมูล เป็นค่าคงที่ไดอิเล็กทริก

55 ข้อมูล ตัวประกอบการสูญเสียได้อเล็กทริก 55 ข้อมูล คุณสมบัติได้อเล็กทริกของนมถูกใช้เป็นอินพุตหรือข้อมูล ขาเข้าของโครงข่ายประสาทเทียม โดยข้อมูลขาเข้าได้แบ่งออกเป็น 3 กลุ่ม เพื่อเปรียบเทียบสมรรถนะในการเรียนรู้ ของโครงข่ายประสาทเทียม คือ กลุ่มที่ 1 ใช้ข้อมูลคุณสมบัติ ได้อเล็กทริกที่ได้จากการวัดในช่วงความถี่ 0.5 ถึง 3 กิกะ เฮิรตซ์ จำนวน 10% ของข้อมูลทั้งหมด โดยเลือกข้อมูลอุ่นมาอย่างเป็นเชิงเส้น (ที่มีระยะห่างของแต่ละข้อมูลเท่ากันตลอดครอบคลุมความถี่ 0.5 ถึง 3 กิกะ เฮิรตซ์) กลุ่มที่ 2 ใช้การคัดเลือกข้อมูลในลักษณะเดียวกับกลุ่มที่ 1 แต่ได้เพิ่มจำนวนของข้อมูลมากขึ้นเป็น 20% จากข้อมูลทั้งหมด และในกลุ่มที่ 3 ได้ทำในลักษณะเดียวกับกลุ่มที่ 1 และ 2 แต่เพิ่มข้อมูลมากขึ้นเป็น 50% ใน การฝึกสอน ขั้นตอนต่อมาคือการกำหนดจำนวนโนดซ่อนเร้น เพื่อหาจำนวนโนดซ่อนเร้นที่เหมาะสม โดยแต่ละการฝึกสอนโนดซ่อนเร้นจะถูกปรับเป็น 1 เท่า 2 เท่า และ 3 เท่า ของจำนวนอินพุตทั้งหมด เพื่อศึกษาถึงความเหมาะสมในการนำไปใช้งานดังแสดงในตารางที่ 1

**ตารางที่ 1 การเรียนรู้ของโครงข่ายประสาทเทียมจากจำนวนโนดซ่อนเร้น**

Case	Data 10%, 20%, 50%		
	Input node	Hidden node	Output node
1	3	4	1
2	3	6	1
3	3	9	1

การปรับอัตราการเรียนรู้ของโครงข่ายประสาทเทียม ถูกปรับอยู่ในช่วง 0.0005, 0.001 และ 0.002 เพื่อหาอัตราการเรียนรู้ที่ดีที่สุด ขั้นตอนสุดท้ายคือการกำหนดค่าอัตราความผิดพลาดที่ยอมรับได้ และจำนวนของการวนซ้ำที่มากสุด คือ  $10^3$  และ  $10^7$  ตามลำดับ การฝึกสอนแต่ละครั้งกำหนดให้มี 1 โนดเอาต์พุต กรณีที่เป็นنمดคือ 1 และน้ำเสียคือ 0

#### 4. ผลการทดลองและวิจารณ์

การทดลองฝึกสอนโครงข่ายประสาทเทียมใช้ข้อมูลที่ได้จากการวัดคุณสมบัติได้อเล็กทริกของนมดีและนมเสีย

ในช่วงความถี่ 0.5 ถึง 3 กิกะ เฮิรตซ์ การฝึกสอนแบ่งออกเป็น 3 แบบ หลักๆ โดยแบ่งตามจำนวนกลุ่มของข้อมูลที่เป็นอินพุตของโครงข่ายประสาทเทียม ข้อมูลที่ใช้ในการฝึกสอนแบ่งเป็นกลุ่มละ 10%, 20% และ 50% ของข้อมูลได้อเล็กทริกทั้งหมด เพื่อเปรียบเทียบความสามารถในการจำจำรูปแบบและความสามารถในการเรียนรู้ การทดลองได้ใช้วิธีการเขียนบรรยายซอฟต์แวร์โดยใช้โปรแกรมภาษาไซแลป (SCILAB) เวอร์ชัน 6.0.0 โดยใช้หลักการทำซ้ำแบบมีเงื่อนไข (While loop) เมื่อเจอกำหนดที่หมายจะสมจะหยุดการทำงาน ซอฟต์แวร์ที่ใช้ในการฝึกสอนในรูปที่ 5

```
ANN's training.sce (C:\Users\NEVMSO\Documents\Scilab\ANN's training.sce) - ScilNotes
ANN's training.sce
1 while err > 0.001 & ep < 10^7
2 ... err= []; ep=ep+1;
3 ... for i=1:length(Yd)
4 ... for j=1:length(zeta_j)
5 ... Yi(j)=sigmoid((x(i,:)*w(:,j))-zeta_j(j));
6 ... end
7 ... for k=1:length(zeta_k)
8 ... Yo(k)=sigmoid((w(:,k)*Yi')-zeta_k(k));
9 ... end
10 ... error=Yd(i,:)-Yo;
11 ... err=abs(error);
12 %-----return error-----
13 ... gradi_k=Yo.* (1-Yo).*error;
14 ... for y=1:length(Yi)
15 ... Delta_j=alpha*Yi(y)*gradi_k;
16 ... Delta_wj=[Delta_wj;Delta_j];
17 ... end
18 ... Delta_zeta_k=alpha*(-1)*gradi_k;
19 ... for t=1:length(Yi)
20 ... gradi_j(t)=Yi(t)*sum((1-Yi(t))*(w(:,t)).*gradi_k);
21 ... end
22 ... Delta_Wi=[];
23 ... for ti=1:row
24 ... Delta_i=alpha*x(i,ti)*gradi_j;
25 ... Delta_wi=[Delta_wi;Delta_i];
26 ... end
27 end
```

**รูปที่ 5 ตัวอย่างซอฟต์แวร์ในโปรแกรมไซแลป**

**ตารางที่ 2 การเรียนรู้ของโครงข่ายประสาทเทียมโดยใช้ข้อมูล 10%**

No de	Learning	Iteration	Error	Accuracy
(ก)	0.0005	$10^7$	0.5	50%
	0.001	$10^7$	0.4993	50%
(ข)	0.002	$10^7$	0.1648	82.73%
	0.0005	$10^7$	0.4998	50%
(ค)	0.001	$10^7$	0.0142	83.64%
	0.002	$10^7$	0.164	82.73%
(ค)	0.0005	$10^7$	0.5	50%
	0.001	$10^7$	0.0026	84.55%
	0.002	$10^7$	0.1629	82.73%

การฝึกสอนเริ่มจากการใช้ข้อมูลจำนวนน้อยโดยใช้ข้อมูล 10% จากข้อมูลที่มีทั้งหมด ใช้จำนวนโนดช่อนเร้น 4, 6 และ 9 โนด เพื่อศึกษาถึงผลที่เกิดขึ้นเมื่อเพิ่มจำนวนโนดช่อนเร้น อัตราการเรียนรู้ถูกปรับตั้งแต่ 0.0005, 0.001 และ 0.002 เพื่อให้การปรับน้ำหนัก (Weight) มีความละเอียดแตกต่างกันไป การฝึกสอนได้ใช้จำนวนการวนซ้ำมากสุดที่  $10^7$  ครั้ง หรือ อัตราความผิดพลาดต่ำกว่า  $10^{-3}$  ก็จะหยุดการปรับน้ำหนัก ซึ่งจะเห็นได้ว่ากรณีที่ใช้โนดช่อนเร้น 4 โนด ใช้อัตราการเรียนรู้ 0.0005 และ 0.001 ไม่สามารถฝึกสอนโครงข่ายประสาทเทียมได้ เนื่องจากใช้ความละเอียดในการปรับน้ำหนักมากเกินไป รวมถึงจำนวนโนดช่อนเร้นไม่เพียงพอต่อการเรียนรู้จัดจำและเมื่อเพิ่มอัตราการเรียนรู้เป็น 0.002 จึงทำให้โครงข่ายประสาทเทียมสามารถเรียนรู้ได้ ดังแสดงในตารางที่ 2 (ก) กรณีที่ 2 เมื่อเพิ่มโนดช่อนเร้นเป็น 6 โนด ทำให้การเรียนรู้ของโครงข่ายประสาทเทียมทำได้ดีกว่าเดิมนั่นคือ ที่อัตราการเรียนรู้ 0.001 และ 0.002 ของ 6 โนดช่อนเร้น โครงข่ายประสาทเทียมสามารถเรียนรู้และให้ความแม่นยำเกิน 82% ดังแสดงในตารางที่ 2 (ข) และในกรณีสุดท้ายคือการใช้โนดช่อนเร้น 9 โนด เห็นได้ว่า แนวโน้มของความแม่นยำเพิ่มมากขึ้นสังเกตได้ในกรณีที่ อัตราการเรียนรู้ 0.001 พบร่วมกับความแม่นยำเพิ่มขึ้นจาก 83.64% เป็น 84.55% ดังแสดงในตารางที่ 2 (ค)

จากนั้นได้เพิ่มข้อมูลที่ใช้สำหรับฝึกสอนโครงข่ายประสาทเทียมเป็น 20% ของข้อมูลทั้งหมด จำนวนโนดช่อนเร้นและอัตราการเรียนรู้ถูกทดลองปรับเปลี่ยนในลักษณะเดียวกับการใช้ข้อมูล 10% ใน การฝึกสอน จำนวนการวนซ้ำปรับเช่นเดียวกันคือ มากสุดที่  $10^7$  ครั้ง ต่อการฝึกสอน หรือ เมื่ออัตราความผิดพลาดต่ำตั้งไว้คือ  $10^{-3}$  น้ำหนักก็จะหยุดการปรับ จะเห็นได้ว่าเมื่อเพิ่มจำนวนข้อมูลเป็น 20% การเรียนรู้สามารถทำได้ดีกว่าเดิม สังเกตได้จากเมื่อใช้โนดช่อนเร้น 4 โนด

สามารถฝึกสอนโครงข่ายประสาทเทียมให้เรียนรู้ที่ อัตราการเรียนรู้ 0.001 และ 0.002 ได้ เนื่องจาก ความสัมพันธ์ของข้อมูลที่เพิ่มขึ้นดังแสดงในตารางที่ 3 (ก) ในกรณีที่ 2 เมื่อโนดช่อนเร้นเพิ่มเป็น 6 โนด การเรียนรู้สามารถทำได้ดีกว่าเดิม สังเกตได้จากที่อัตราการเรียนรู้ 0.001 ความแม่นยำเพิ่มขึ้นจาก 82.73% เป็น 98.18%

แสดงให้เห็นว่าโครงข่ายประสาทเทียมสามารถเรียนรู้ได้ดีกว่าเดิม ดังแสดงในตารางที่ 3 (ข) กรณีที่ 3 เพิ่มโนดช่อนเร้นเป็น 9 โนด โครงข่ายประสาทเทียมมีการพัฒนาสามารถเรียนรู้ที่อัตราการเรียนรู้ 0.0005 แต่ในบางกรณีความแม่นยำลดลงหรือคงที่ เช่น ที่อัตราการเรียนรู้ 0.001 และ 0.002 เนื่องจากด้วยจำนวนการวนซ้ำถูกจำกัดอยู่ที่  $10^7$  จึงทำให้โครงข่ายประสาทเทียมหยุดการเรียนรู้ดังแสดงในตารางที่ 3 (ค)

### ตารางที่ 3 การเรียนรู้ของโครงข่ายประสาทเทียมโดยใช้ข้อมูล 20%

No de	Learning	Iteration	Error		Accuracy
			0.0005	$10^7$	
(ก)	4	0.001	$10^7$	0.166	82.73%
		0.002	$10^7$	0.2135	85.46%
		0.0005	$10^7$	0.4998	50%
(ข)	6	0.001	$8.9 \times 10^6$	0.001	98.18%
		0.002	$10^7$	0.2131	85.46%
		0.0005	$10^7$	0.2138	85.46%
(ค)	9	0.001	$10^7$	0.2302	85.46%
		0.002	$10^7$	0.2126	85.46%

ข้อมูลชุดสุดท้ายใช้ 50% ของข้อมูลทั้งหมดในการฝึกสอนโครงข่ายประสาทเทียม การทดลองเปลี่ยนจำนวนโนดช่อนเร้นและอัตราการเรียนรู้ทำให้มีอนกับการฝึกสอนในขั้นตอนก่อนหน้า รวมถึงจำนวนการวนซ้ำและการปรับอัตราความผิดพลาด เมื่อเพิ่มจำนวนข้อมูลเป็น 50% นั้น ส่งผลกระทบต่อการเรียนรู้ของโครงข่ายประสาทเทียม เนื่องจากธรรมชาติของโครงข่ายประสาทเทียมเหมาะสมกับการเรียนรู้ข้อมูลจำนวนมากๆ เพื่อปรับน้ำหนักให้เหมาะสมที่สุด เริ่มต้นที่ 4 โนดช่อนเร้น โครงข่ายประสาทเทียมเรียนรู้ได้ดีกว่าการใช้ข้อมูล 20% ใน การฝึกสอน ที่อัตราการเรียนรู้ 0.001 และ 0.002 ความแม่นยำเพิ่มขึ้นประมาณ 4% และ 1% ตามลำดับ ดังแสดงในตารางที่ 4 (ก) เมื่อใช้โนดช่อนเร้นเพิ่มเป็น 6 โนด ความสามารถในการเรียนรู้ทำได้ดีขึ้นอย่างชัดเจนคือ ทั้ง 3 อัตราการเรียนรู้ให้ความแม่นยำ 100% โดย อัตราการเรียนรู้ 0.002 มีการวนซ้ำน้อยสุด และที่อัตราการ

เรียนรู้ 0.0005 ใช้จำนวนการวนซ้ำสูงสุด เนื่องจากการปรับการเรียนรู้ทำอย่างละเอียด

**ตารางที่ 4 การเรียนรู้ของโครงข่ายประสาทเทียมโดยใช้ข้อมูล 50%**

	Node	Learning	Iteration	Error	Accuracy
(ก)	4	0.000	$10^7$	0.4992	50%
		5			
		0.001	$10^7$	0.2039	86.36%
(ข)	6	0.002	$10^7$	0.2043	86.36%
		0.000	$3.1 \times 10^6$	0.001	100%
		5			
(ค)	9	0.001	$1.3 \times 10^6$	0.001	100%
		0.002	$1.1 \times 10^6$	0.001	100%
		0.000	$10^7$	0.2002	86.36
		5			
		0.001	$9.7 \times 10^6$	0.001	100%
		0.002	$8.4 \times 10^6$	0.001	100%

ดังแสดงในตารางที่ 4 (ข) กรณีท้ายสุดคือการใช้โนดชั่นเร็น 9 ในดี สังเกตได้ว่าอัตราการเรียนรู้ 0.001 และ 0.002 ยังคงให้ความแม่นยำ 100% แต่จำนวนการวนซ้ำเพิ่มขึ้น เนื่องจากเมื่อจำนวนโนดชั่นเร็นเพิ่มขึ้นการเรียนรู้จะใช้การวนซ้ำเพิ่มขึ้น แต่ความสามารถเรียนรู้ปัญหาที่ซับซ้อนได้มากกว่าเดิม ในกรณีของอัตราการเรียนรู้ 0.0005 ความแม่นยำลดลงเนื่องการเรียนรู้ถูกปรับอย่างละเอียดรวมถึงการวนซ้ำถูกจำกัดจึงทำให้โครงข่ายประสาทเทียมหยุดการเรียนรู้ก่อนถึงค่าความผิดพลาดที่กำหนดดังแสดงในตารางที่ 4 (ค)

จากการฝึกสอนโครงข่ายประสาทเทียมแสดงให้เห็นว่า การเพิ่มจำนวนข้อมูลสำหรับการเรียนรู้ ส่งผลให้ระบบสามารถแบ่งหรือจัดกลุ่มข้อมูลได้อย่างมีประสิทธิภาพ อัตราการเรียนรู้ส่งผลถึงเงื่อนไขในการปรับน้ำหนักของโครงข่ายประสาทเทียม เมื่อใช้อัตราการเรียนรู้ต่ำจะเสียเวลาในการคำนวณมากกว่าปกติแต่จะสามารถเรียนรู้ได้ และเมื่อปรับอัตราการเรียนรู้ทายาบการเรียนรู้ทำได้รวดเร็วแต่จะให้ความผิดพลาดสูงหรือในบางกรณีไม่สามารถเรียนรู้ได้

## 5. สรุปผล

การตรวจดูคุณสมบัติได้อิเล็กทริกที่เกิดขึ้นของนมดีและนมเสียถูกวัดในช่วงความถี่กว้างตั้งแต่ 0.5 ถึง 3 กิกะเฮิรตซ์ จึงได้ค่าคงที่ได้อิเล็กทริกและค่าตัวประกอบการสูญเสียได้อิเล็กทริกของนมดีและนมเสีย ซึ่งค่าคงที่ได้อิเล็กทริกอยู่ในช่วง 65.99 ถึง 69.89 และ 64.91 ถึง 69.54 ตามลำดับ และค่าตัวประกอบการสูญเสียได้อิเล็กทริกอยู่ในช่วง 13.04 ถึง 21.55 และ 14.28 ถึง 24.27 ตามลำดับ ข้อมูลถูกใช้ในการฝึกสอนโครงข่ายประสาทเทียมเพื่อจำแนกคุณภาพของนมออกเป็น 2 กลุ่ม คือ นมดีและนมเสีย การฝึกสอนใช้ค่าคุณสมบัติได้อิเล็กทริกที่วัดในช่วง 0.5 ถึง 3 กิกะเฮิรตซ์ ที่จำนวน 10%, 20% และ 50% ของข้อมูลทั้งหมด อัตราการเรียนรู้ทดสอบที่ 0.0005, 0.001 และ 0.002 ตามลำดับ โดยช่องเร้นทดสอบตั้งแต่ 4 โนด 6 โนด และ 9 โนด จากการทดสอบระบบที่อัตราการเรียนรู้ 0.001 จำนวนโนดชั่นเร็น 6 โนด ข้อมูลสำหรับการฝึกสอน 20% ระบบสามารถปรับน้ำหนักได้อย่างมีประสิทธิภาพ จำนวนโนดชั่นเร็นมีความซับซ้อนต่ำแต่สามารถเรียนรู้ได้อย่างดี การใช้ข้อมูลเพียง 20% ใน การฝึกสอนแสดงให้เห็นว่าระบบสามารถหาความสัมพันธ์ของข้อมูลได้อย่างดี ระบบที่นำเสนอดังนี้มีความซับซ้อนต่ำแต่ยังคงสามารถเรียนรู้และมีการตัดสินใจในการจัดกลุ่มได้อย่างมีประสิทธิภาพ จึงทำให้ใช้ทรัพยากรได้อย่างคุ้มค่าและมีประสิทธิภาพ

## 6. กิตติกรรมประกาศ

การวิจัยนี้สำเร็จลุล่วงตามวัตถุประสงค์ของงานวิจัย ด้วยความเรียบร้อย โดยทุนสนับสนุนการวิจัยจากกองทุนวิจัย มหาวิทยาลัยราชภัฏรำไพพรรณี sốัญญาเลขที่ 2236/2560

## 7. เอกสารอ้างอิง

- [1] สำนักวิจัยเศรษฐกิจการเกษตร, “สถานการณ์สินค้าเกษตรที่สำคัญและแนวโน้ม,” 2560.
- [2] กิตติศักดิ์ อัจฉริยะชร, “น้ำนมดีต้องเริ่มที่แม่วัว,” ข่าวสารนวัตกรรมและงานวิจัย, 2558 แหล่งที่มา: <http://www.chula.ac.th/th/archive/25353>.
- [3] R. Tsenkova, S. Atanassova, K. Itoh, Y. Ozaki and K. Toyoda, “Near infrared spectroscopy for

- biomonitoring: cow milk composition measurement in a spectral region from 1,100 to 2,400 nanometers,” Journal of Animal Science, 2000.
- [4] C. E. Carleos Artime, J. A. Baro de la Fuente, M. A. Perez Garcia, R. M. Vega, and N. C. Blanco, “On-line estimation of fresh milk composition by means of VIS-NIR spectrometry and partial least squares method (PLS),” Proceeding of IEEE Instrumentation and Measurement Technology Conference Proceedings, 2008.
- [5] Z. Zhou, J. Wang, and Y. Qin, “Design of signal conditioning circuits for impedance detection of milk bacteria,” Proceeding of the 6th International Forum on Strategic Technology, pp.818-821, 2011.
- [6] E. Ouacha, B. Faiz, A. Moudden, I. Aboudaoud, H. Banouni, M. Boudaoud and H. Bita, “Non-destructive characterization of the air influence on the UHT milk quality by ultrasonic technique,” Proceeding of International Conference on Electrical and Information Technologies, 2015.
- [7] S. A. Hussain, C. S. Ramaiah, M. N. Giri Prasad and S. M. Hussain, “Milk products monitoring system with ARM processor for early detection of microbial activity,” Proceeding of the 3rd MEC International Conference on Big Data and Smart City, 2016.
- [8] Agilent Technologies, “Basics of measuring the dielectric properties of materials,” USA, 2006.
- [9] J. Baker-Jarvis, M. D. Janezic, P. D. Domich, and R. G. Geyer, “Analysis of an Open-ended Coaxial Probe with Lift-off for Nondestructive Testing,” IEEE Transactions on Instrumentation and Measurement, 43, pp.711 – 718, 1994.
- [10] Keysight, “Fieldfox handheld analyzers technical overview,” USA, 2015.
- [11] Agilent Technologies, “85070E Dielectric Probe Kit,” Printed Ver., USA, 2013.
- [12] W. Ding, F. Gao and C. Yan, “LED-induced fluorescence spectroscopy technique for milk freshness detection,” Proceeding of 15th International Conference on Optical Communications and Networks, 2016
- [13] S. Haykin, “Neural networks, a comprehensive foundation,” Macmillan: New York, 1994.

#### APPENDIX

$w_i$	-7.707	-0.77	20.094	0.552	0.086	-0.167
	-1.51	0.371	-0.799	0.096	-0.492	0.996
	8.178	-0.226	2.108	0.543	-0.742	-3.077
$w_j$	12.156	-4.748	15.273	-5.321	-0.402	-5.301
$\theta_j$	0.388	-0.177	-1.779	0.419	0.292	0.201
$\theta_k$	5.144					